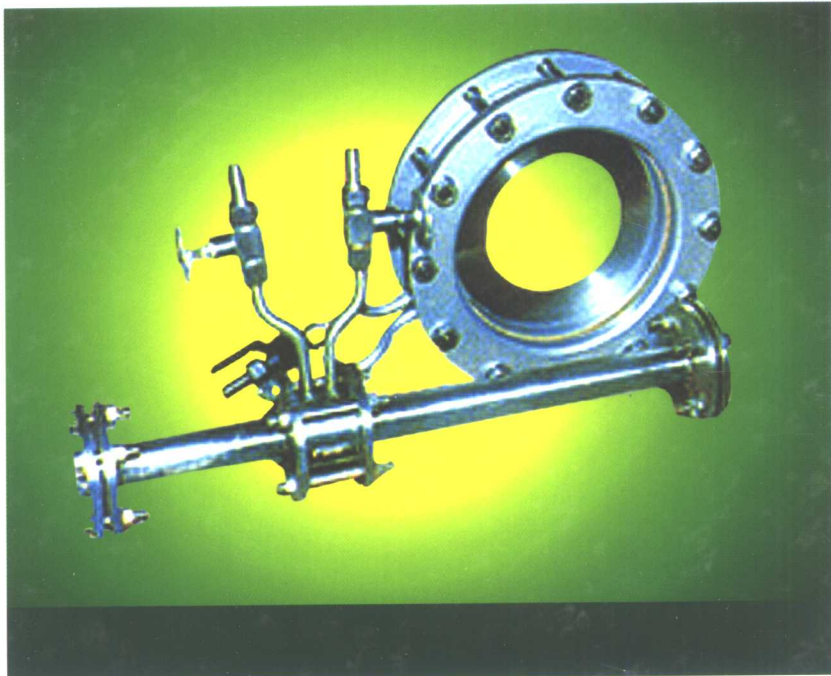


孙淮清 王建中 编著

# 流量测量节流装置 设计手册

第二版



Chemical Industry Press



化学工业出版社  
工业装备与信息工程出版中心

# 流量测量节流装置设计手册

第二版

孙淮清 王建中 编著



化学工业出版社  
工业装备与信息工程出版中心

· 北京 ·

(京) 新登字 039 号

**图书在版编目 (CIP) 数据**

流量测量节流装置设计手册/孙淮清，王建中编著。  
2 版。—北京：化学工业出版社，2005.4  
ISBN 7-5025-6952-9

I. 流… II. ①孙… ②王… III. 流量测量-节流  
装置-设计-技术手册 IV. TH814-62

中国版本图书馆 CIP 数据核字 (2005) 第 032416 号

---

**流量测量节流装置设计手册**

第二版

孙淮清 王建中 编著

责任编辑：刘 哲

责任校对：陈 静

封面设计：于 兵

\*

化 学 工 业 出 版 社 出版发行  
工业装备与信息工程出版中心  
(北京市朝阳区惠新里 3 号 邮政编码 100029)

发行电话：(010) 64982530

<http://www.cip.com.cn>

\*

新华书店北京发行所经销  
北京永鑫印刷有限责任公司印刷

三河市东柳装订厂装订

开本 787mm×1092mm 1/16 印张 26 1/4 字数 667 千字  
2005 年 6 月第 2 版 2005 年 6 月北京第 2 次印刷

ISBN 7-5025-6952-9

定 价：68.00 元

---

**版权所有 违者必究**

该书如有缺页、倒页、脱页者，本社发行部负责退换  
京化广临字 2005—07 号

## 第二版前言

1980 年 ISO 颁布节流装置国际标准 ISO 5167，它是节流装置发展史上的第一个里程碑，它总结了 20 世纪 70 年代以前节流装置的试验研究。2003 年 ISO 颁布 ISO 5167：2003 (E)，是节流装置发展史上的第二个里程碑，它总结了 20 世纪 80、90 年代国际上对孔板流量计的大规模的试验研究。新版 ISO 5167：2003 (E) 内容有实质性的重大变化，它反映节流装置的几个品种（孔板，喷嘴和文丘里管）当代的科学与生产的技术水平。

本书 2000 年版前言中曾提过由于 1999 年 7 月在美国丹佛 (Denver) 举行的标准审查会议没能把 ISO 5167 修订版的 CD 文件转变为 DIS (标准草案)，本版只能引用 CD 文件的有关内容。嗣后 ISO 在 2000 年完成 ISO/DIS 5167，2002 年完成 ISO/FDIS5167，直至 2003 年正式公布出版 ISO 5167：2003 (E)。虽然 ISO/CD 5167 (1999) 与 ISO 5167：2003 (E) 内容基本上是一样的，但有一些修改（不是主要的），作者认为还是应该根据 ISO 5167：2003 (E) 对本书进行修订，使之完全符合新版的内容。另外，在本书发行的几年中，从读者反映的意见及作者的再核查中感觉有些内容应该进行修改与补充，以使本书更完善些。

如果说今后本书仍有重新修订的机会，届时非标准节流装置将是主要修订的内容了。

在本书编写过程中，上海工业自动化仪表研究所高级工程师邵瑞华和上海光华仪表厂教授级高级工程师蔡武昌给予大力的支持帮助，在此表示衷心的感谢。

编著者  
2005 年 4 月

## 第一版前言

以节流装置为检测件的差压式流量计，是历史悠久、理论与实践资料丰富、使用成熟、用量巨大的一类流量计，迄今它仍在不断地发展，以适应使用者的各种需求。本手册是一本实用手册，全书分为三部分。第一篇原理和基础：第一、二章简介流量计的工作原理，较详尽地分析流量计方程中各参数的确定方法；第三章到第六章介绍标准节流装置的结构形式、安装要求、使用及设计计算方法，是本书的主要内容；鉴于现场工况极为复杂，标准节流装置往往难以完全满足要求，第七章及第八章收集偏离标准的处理及各类非标准节流装置的应用资料，同时这两章的内容反映了节流装置的发展趋向。第二篇汇编通用性及流体物性方面的有关资料，它是节流装置设计计算及使用时不可缺少的资料。第三篇制造安装图，可供使用者自行设计制造节流装置之用。

30余年前，作者曾编著过一本节流装置手册（流量测量节流装置设计手册，孙淮清、张宝鑫编著，机械工业出版社，1966年），并在国内广泛使用，直至我国第一部节流装置国家标准（GB 2624，1981年）的问世。鉴于该手册内容体例备受使用者的欢迎，本手册汲取其特点，仍然包括实用的三部分。

30余年来节流装置发生了巨大的变化。首先，1980年颁布第一部ISO 5167节流装置国际标准，是节流装置发展史上的一个里程碑。紧接着整个80年代国际上进行了大规模的孔板流量计研究试验，它为ISO 5167的修订打下了坚实的基础，虽然从标准节流装置的角度看，可以认为流量计的成熟程度已居各类流量计之首，但作为一大类差压式流量计，它的发展是无限的，其他（非标准）节流装置的不断出现及晋升为标准型就是明证。现场实际工况复杂及需求的增加，都有力地推动着节流装置迅速地向前发展。

正值本书即将付梓之时，ISO 5167的修订工作已进入最后阶段，本次修订是80年代以来，国际上对孔板流量计大规模研究试验的总结，它与第一部节流装置国际标准（1980年）有实质性的变化。遗憾的是，1999年7月在美国丹佛（Denver）举行的标准审查会议，并没能把CD文件转变为DIS（标准草案）文件，据说其中有一些问题（不是主要的）尚需商榷，为此，作者只能引用CD文件的有关内容。

本书第一、二篇由孙淮清编写，第三篇由王建中撰写。限于水平，书中不免存在缺点和错误，衷心希望读者批评指正。在本书编写过程中，得到上海工业自动化仪表研究所标准化室邵志勇高级工程师、程思秉高级工程师的鼓励和大力支持，在此表示衷心感谢。

编著者

2000年3月

## 内 容 提 要

以节流装置为检测件的差压流量计是使用成熟、用量巨大的一类流量计，手册分三部分概述了节流装置使用中需要的资料。此次修订核心内容主要是流出系数公式和直管段长度的规定。修订后，手册完全符合标准 ISO 5167：2003 (E)。

手册第一篇介绍了标准节流装置的结构形式、安装要求、使用及设计计算方法，并收集了偏离标准的处理，以及各类非标准节流装置的应用资料。第二篇汇编了通用性及流体物性方面的有关资料。第三篇是制造安装图，可供读者自行设计制造节流装置时使用。

手册可供化工、石油化工、炼油等工业部门从事节流装置使用、设计、安装的工程技术人员阅读和参考。

# 目 录

## 第一篇 原理和基础

|                                   |    |
|-----------------------------------|----|
| <b>第一章 基本原理</b> .....             | 1  |
| 第一节 概述 .....                      | 1  |
| 第二节 节流装置测量原理 .....                | 2  |
| 一、流体通过节流装置的流动情况 .....             | 2  |
| 二、流量方程式 .....                     | 2  |
| 三、标准节流装置的测量原理 .....               | 5  |
| <b>第二章 流量方程式中各参数的确定方法</b> .....   | 6  |
| 第一节 概述 .....                      | 6  |
| 第二节 流出系数 .....                    | 7  |
| 一、孔板、喷嘴的流出系数特性 .....              | 8  |
| 二、标准孔板的流出系数 .....                 | 8  |
| 第三节 可膨胀性系数 .....                  | 13 |
| 第四节 被测介质的物性参数 .....               | 14 |
| 一、密度 .....                        | 15 |
| 二、黏度 .....                        | 40 |
| 三、等熵指数 $\kappa$ .....             | 49 |
| 第五节 雷诺数 .....                     | 51 |
| 第六节 压力、温度和密度的测量 .....             | 53 |
| 一、压力测量 .....                      | 53 |
| 二、温度测量 .....                      | 54 |
| 三、密度测量 .....                      | 55 |
| 第七节 材料的热膨胀系数 .....                | 55 |
| 第八节 流体通过节流装置时的压力损失 .....          | 56 |
| 一、孔板和喷嘴的压力损失 .....                | 56 |
| 二、文丘里喷嘴和经典文丘里管的压力损失 .....         | 56 |
| 三、能耗计算式 .....                     | 58 |
| 四、耗能费(年) .....                    | 58 |
| 第九节 差压上限值的确定 .....                | 58 |
| <b>第三章 标准节流装置的结构形式和技术要求</b> ..... | 59 |
| 第一节 概述 .....                      | 59 |
| 第二节 孔板的结构形式和技术要求 .....            | 59 |
| 一、孔板的结构形式 .....                   | 59 |
| 二、孔板的取压装置 .....                   | 60 |
| 第三节 喷嘴的结构形式和技术要求 .....            | 61 |

|                                   |     |
|-----------------------------------|-----|
| 一、ISA1932 喷嘴 .....                | 61  |
| 二、长径喷嘴 .....                      | 63  |
| <b>第四节 经典文丘里管的结构形式和技术要求</b> ..... | 64  |
| 一、经典文丘里管的结构形式 .....               | 64  |
| 二、各种类型经典文丘里管的廓形特性 .....           | 65  |
| 三、取压装置 .....                      | 66  |
| <b>第五节 文丘里喷嘴的结构形式和技术要求</b> .....  | 66  |
| 一、文丘里喷嘴的几何廓形 .....                | 66  |
| 二、文丘里喷嘴的取压装置 .....                | 67  |
| <b>第四章 标准节流装置的安装</b> .....        | 68  |
| 第一节 概述 .....                      | 68  |
| 第二节 阻流件的影响 .....                  | 68  |
| 一、速度分布畸变和旋涡角 .....                | 68  |
| 二、弯头 .....                        | 68  |
| 三、渐扩管和突扩管 .....                   | 69  |
| 四、渐缩管和突缩管 .....                   | 70  |
| 五、阀门 .....                        | 70  |
| 第三节 标准节流装置的安装要求 .....             | 71  |
| 一、概述 .....                        | 71  |
| 二、测量管及其安装 .....                   | 71  |
| 三、节流件的安装 .....                    | 87  |
| 四、差压信号管路的安装 .....                 | 89  |
| <b>第五章 标准节流装置与差压计的使用</b> .....    | 98  |
| 第一节 概述 .....                      | 98  |
| 第二节 标准节流装置的使用条件 .....             | 98  |
| 第三节 制造节流装置的材料 .....               | 99  |
| 第四节 孔板的强度计算 .....                 | 99  |
| 第五节 标准节流装置的选择原则 .....             | 100 |
| 第六节 标准节流装置的检验方法 .....             | 101 |
| 一、几何检验法 .....                     | 101 |
| 二、系数检验法 .....                     | 105 |
| 第七节 差压计(差压变送器)的检验 .....           | 107 |
| 一、差压计(差压变送器)的技术要求 .....           | 107 |
| 二、差压计(差压变送器)的检验条件 .....           | 108 |
| 三、差压计(差压变送器)的检验项 .....            | 108 |

|                                |            |                               |            |
|--------------------------------|------------|-------------------------------|------------|
| 目和方法 .....                     | 108        | 影响的倾向 .....                   | 151        |
| <b>第六章 标准节流装置的设计计算 .....</b>   | <b>111</b> | <b>第三节 管道布置不符合标准要求 .....</b>  | <b>152</b> |
| <b>第一节 概述 .....</b>            | <b>111</b> | 一、节流件上下游侧安装异径管 .....          | 152        |
| 一、节流装置设计计算的命题 .....            | 111        | 二、节流件上游侧直管段长度不足 .....         | 153        |
| 二、计算用公式 .....                  | 111        | 三、流动情况不符合标准要求时影响的             |            |
| 三、迭代计算法 .....                  | 112        | 倾向 .....                      | 154        |
| 四、节流装置设计计算要点 .....             | 113        | <b>第四节 使用条件不符合标准要求 .....</b>  | <b>154</b> |
| 五、计算机计算程序 .....                | 114        | 一、孔板挠曲 .....                  | 154        |
| <b>第二节 常用设计计算命题的计算方法 .....</b> | <b>114</b> | 二、孔板上游端面沉积脏物 .....            | 154        |
| 一、命题①（计算流量）的计算方法 .....         | 114        | 三、孔板上游侧测量管沉积脏物 .....          | 155        |
| 二、命题②（计算孔径）的计算方法 .....         | 115        | 四、文丘里管内壁沉积脏物 .....            | 156        |
| <b>第三节 设计计算实例 .....</b>        | <b>116</b> | 五、经典文丘里管使用条件偏离标准的             |            |
| 一、实例之一（命题①）被测介质                |            | 影响 .....                      | 156        |
| 为水 .....                       | 116        | <b>第五节 管道粗糙度不符合标准要求 .....</b> | <b>158</b> |
| 二、实例之二（命题①）被测介质                |            | 一、角接取压标准孔板的糙管流出               |            |
| 为天然气 .....                     | 117        | 系数 .....                      | 158        |
| 三、实例之三（命题②）被测介质                |            | 二、ISA1932 喷嘴的糙管流出系数 .....     | 159        |
| 为水 .....                       | 120        | 三、降低管道粗糙度的影响 .....            | 159        |
| 四、实例之四（命题②）被测介质                |            | <b>第八章 其他（非标准）节流装置 .....</b>  | <b>161</b> |
| 为过热水蒸气 .....                   | 123        | <b>第一节 概述 .....</b>           | <b>161</b> |
| 五、实例之五（命题②）被测介质                |            | <b>第二节 低雷诺数用节流装置 .....</b>    | <b>161</b> |
| 为空气 .....                      | 126        | 一、1/4 圆孔板 .....               | 162        |
| 六、实例之六（命题②）被测介质为               |            | 二、锥形入口孔板 .....                | 164        |
| 高炉煤气 .....                     | 129        | 三、双重孔板 .....                  | 165        |
| 七、实例之七（命题②）被测介质                |            | <b>第三节 脏污介质用节流装置 .....</b>    | <b>166</b> |
| 为天然气 .....                     | 133        | 一、圆缺孔板 .....                  | 166        |
| 八、实例之八（命题③）被测介质                |            | 二、偏心孔板 .....                  | 169        |
| 为焦炉煤气 .....                    | 136        | 三、楔形孔板 .....                  | 171        |
| 九、实例之九（命题③）被测介质                |            | 四、耐磨孔板 .....                  | 175        |
| 为过热水蒸气 .....                   | 138        | 五、环形孔板 .....                  | 176        |
| <b>第七章 标准节流装置偏离标准规定的</b>       |            | 六、弯管 .....                    | 177        |
| <b>处理和测量的附加误差 .....</b>        | <b>141</b> | <b>第四节 低压损用节流装置 .....</b>     | <b>178</b> |
| <b>第一节 概述 .....</b>            | <b>141</b> | 一、矩形文丘里管 .....                | 179        |
| <b>第二节 节流装置结构不符合标准要求 .....</b> | <b>143</b> | 二、道尔管 .....                   | 180        |
| 一、孔板开孔直角入口边缘锐利度 .....          | 143        | 三、罗洛斯（Lo-Loss）管 .....         | 181        |
| 二、孔板厚度 $E$ .....               | 144        | 四、通用文丘里管 .....                | 182        |
| 三、取压口位置和质量 .....               | 144        | <b>第五节 小管径节流装置 .....</b>      | <b>182</b> |
| 四、排泄孔和放气孔 .....                | 147        | <b>第六节 端头节流装置 .....</b>       | <b>183</b> |
| 五、实际管道内径和节流件孔径与                |            | 一、由大的空间（无上游管线）至管线             |            |
| 设计值不符时的处理 .....                | 148        | 或至另一大的空间 .....                | 183        |
| 六、环室有台阶 .....                  | 148        | 二、由管线至大的空间（无下游管线） .....       | 184        |
| 七、节流件安装偏心 .....                | 149        | 三、吸入式端头节流件 .....              | 184        |
| 八、孔板的偏移 .....                  | 149        | <b>第七节 宽范围度节流装置 .....</b>     | <b>186</b> |
| 九、节流装置结构不符合标准要求时               |            | <b>第八节 脉动流节流装置 .....</b>      | <b>187</b> |

|  |            |
|--|------------|
| 一、概述   | 187        |
| 二、脉动流流量测量的误差源  | 188        |
| 三、脉动流平均流量的确定方法   | 189        |
| <b>第九节 临界流节流装置</b>   | <b>192</b> |
| 一、概述   | 192        |
| 二、工作原理   | 193        |
| 三、临界流文丘里喷嘴的结构形式和<br>安装要求   | 197        |
| 四、临界流文丘里喷嘴的应用与设计<br>计算   | 198        |
| <b>第十节 混相流节流装置</b>   | <b>202</b> |
| 一、概述   | 202        |
| 二、气液两相流  | 203        |
| 三、气固两相流  | 205        |
| 四、液固两相流  | 206        |
| <b>第九章 流量测量的不确定度</b>   | <b>208</b> |
| 第一节 概述   | 208        |
| 一、术语   | 208        |
| 二、测量误差的组成  | 208        |
| 三、测量的可能结果  | 209        |
| 四、测量的不确定度  | 209        |
| 第二节 流量测量不确定度的计算式   | 211        |
| 一、流量测量不确定度的计算式   | 211        |
| 二、流量测量误差源的分析   | 212        |
| 三、流量测量不确定度计算式各不确<br>定度分量的估算  | 213        |
| 第三节 流量测量不确定度计算举例   | 215        |
| <b>第二篇 设计计算用图表</b>   |            |
| <b>第一章 通用图表</b>  | <b>217</b> |
| 1. 节流装置设计计算任务书<br>(表 2.1.1)  | 217        |
| 2. 地区气象表 (表 2.1.2)   | 218        |
| 3. 体积单位换算表 (表 2.1.3)   | 219        |
| 4. 质量单位换算表 (表 2.1.4)   | 220        |
| 5. 体积流量单位换算表 (表 2.1.5)   | 220        |
| 6. 质量流量单位换算表 (表 2.1.6)   | 221        |
| 7. 密度单位换算表 (表 2.1.7)   | 221        |
| 8. 压力单位换算表 (表 2.1.8)   | 222        |
| 9. 温度单位换算表 (表 2.1.9)   | 222        |
| 10. 动力黏度单位换算表<br>(表 2.1.10)  | 222        |
| 11. 运动黏度单位换算表<br>(表 2.1.11)  | 224        |
| 12. 功、能及热量单位换算表<br>(表 2.1.12)  | 224        |
| 13. 英寸与毫米单位换算表<br>(表 2.1.13)   | 225        |
| 14. 毫米与英寸换算表 (表 2.1.14)  | 225        |
| 15. 管道内流速常用值 (表 2.1.15)  | 226        |
| 16. ANSI (美国国家标准) 和 DIN<br>(德国国家标准) 的标准管径<br>(表 2.1.16 和表 2.1.17)            | 227        |
| 17. 节流件与管道常用材料的热膨胀<br>系数 $\lambda \times 10^6$ (表 2.1.18)                    | 229        |
| 18. 差压式流量计示值修正公式<br>(表 2.1.19)   | 229        |
| 19. 气体流量换算公式 (表 2.1.20)  | 230        |
| 20. 孔板与阻流件之间所要求的直管段<br>长度 (无流动调整器)<br>(表 2.1.21)                             | 230        |
| 21. 喷嘴和文丘里喷嘴所要求的直管段<br>长度 (无流动调整器)<br>(表 2.1.22)                             | 232        |
| 22. 经典文丘里管所要求的直管段<br>长度 (表 2.1.23)   | 232        |
| 23. 孔板与 19 根管束流动整直器 (1998) 之间所<br>允许的直管段长度 (阻流件与孔板的距离为 $L_1$ )<br>(表 2.1.24) | 233        |
| 24. 迭代格式 (表 2.1.25)  | 234        |
| 25. 差压变送器的基本特性<br>(表 2.1.26)   | 234        |
| 26. 计算机计算框图——求质量流量<br>$q_m$ (图 2.1.1)  | 235        |
| 27. 计算机计算框图——求节流孔直径<br>$d_{20}$ (图 2.1.2)                                    | 236        |
| 28. 计算机计算框图——求差压 $\Delta p$<br>(图 2.1.3)                                     | 237        |
| 29. 计算机计算框图——求管道内<br>径 $D_{20}$ (图 2.1.4)                                    | 238        |
| 30. 节流件压力损失图 (图 2.1.5)   | 240        |
| 31. 流量-管道内平均流速关系图<br>(图 2.1.6)   | 241        |
| <b>第二章 气体的物理性质图表</b>   | <b>242</b> |
| 1. 气体性质表 (表 2.2.1)   | 242        |
| 2. 空气的压缩系数 (表 2.2.2)   | 243        |
| 3. 氮的压缩系数 (表 2.2.3)  | 244        |
| 4. 氧的压缩系数 (表 2.2.4)  | 244        |

|   |     |   |     |
|---|-----|---|-----|
| 5. 氩的压缩系数 (表 2.2.5) .....   | 245 | 33. 氮气的压缩系数图 (图 2.2.10) .....                 | 267 |
| 6. 氢的压缩系数 (表 2.2.6) .....   | 245 | 34. 氮气的压缩系数图 (图 2.2.11) .....                 | 268 |
| 7. 甲烷的压缩系数 (表 2.2.7) .....  | 246 | 35. 氯气的压缩系数图 (图 2.2.12) .....                 | 269 |
| 8. 一氧化碳的压缩系数 (表 2.2.8) .....  | 246 | 36. 乙炔的压缩系数图 (图 2.2.13) .....                 | 269 |
| 9. 二氧化碳的压缩系数 (表 2.2.9) .....  | 246 | 37. 乙烯的压缩系数图 (图 2.2.14) .....                 | 270 |
| 10. 水蒸气的压缩系数 (表 2.2.10) .....   | 247 | 38. 乙烷的压缩系数图 (图 2.2.15) .....                 | 271 |
| 11. 空气的临界流函数 $C$ .<br>(表 2.2.11) .....  | 248 | 39. $n$ -丁烷的压缩系数图<br>(图 2.2.16) .....         | 271 |
| 12. 氮的临界流函数 $C$ . (表 2.2.12) .....  | 248 | 40. $i$ -丁烷的压缩系数图<br>(图 2.2.17) .....         | 272 |
| 13. 氧的临界流函数 $C$ .<br>(表 2.2.13) .....   | 249 | 41. 丙烯的压缩系数图 (图 2.2.18) .....                 | 272 |
| 14. 氢的临界流函数 $C$ .<br>(表 2.2.14) .....   | 249 | 42. 丙烷的压缩系数图 (图 2.2.19) .....                 | 273 |
| 15. 甲烷的临界流函数 $C$ .<br>(表 2.2.15) .....  | 249 | 43. 一氧化氮的压缩系数图<br>(图 2.2.20) .....            | 274 |
| 16. 水蒸气的临界流函数 $C$ .<br>(表 2.2.16) .....                                       | 250 | 44. 氢氮气体的压缩系数图<br>(图 2.2.21) .....            | 275 |
| 17. 二氧化碳的临界流函数 $C$ .<br>(表 2.2.17) .....                                      | 250 | 45. 焦炉煤气的压缩系数图<br>(图 2.2.22) .....            | 275 |
| 18. 甲烷和天然气的 $a_c$ 与 $b_c$ 值<br>(表 2.2.18) .....                               | 250 | 46. 天然气的压缩系数图<br>(图 2.2.23) .....             | 276 |
| 19. 甲烷和天然气的 $a_z$ 与 $b_z$ 值<br>(表 2.2.19) .....                               | 252 | 47. 气体的压缩系数与对比参数关系图<br>(图 2.2.24) .....       | 277 |
| 20. 理想气体的比定压热容 $c_p$<br>(表 2.2.20) .....                                      | 253 | 48. 空气的等熵指数图 (图 2.2.25) .....                 | 282 |
| 21. 气体的比热容比 $c_p/c_v$<br>(表 2.2.21) .....                                     | 254 | 49. 氮气的等熵指数图 (图 2.2.26) .....                 | 282 |
| 22. 不同压力和温度下甲烷 $c_p$ 及 $c_v$ 值表<br>(表 2.2.22) .....                           | 255 | 50. 氧气的等熵指数图 (图 2.2.27) .....                 | 283 |
| 23. 饱和气体的水分含量<br>(表 2.2.23) .....   | 256 | 51. 氢气的等熵指数图<br>(图 2.2.28) .....              | 284 |
| 24. 求气体黏度的 $X$ 、 $Y$ 值表 (表 2.2.24)<br>和一般气体在常压下的黏度 $\mu$ 图<br>(图 2.2.1) ..... | 257 | 52. 二氧化碳的等熵指数图<br>(图 2.2.29) .....            | 284 |
| 25. 空气的压缩系数图 (图 2.2.2) .....  | 259 | 53. 氨气的等熵指数图 (图 2.2.30) .....                 | 285 |
| 26. 氮气的压缩系数图 (图 2.2.3) .....  | 260 | 54. 甲烷的等熵指数图 (图 2.2.31) .....                 | 285 |
| 27. 氧气的压缩系数图 (图 2.2.4) .....  | 261 | 55. 水蒸气的等熵指数图<br>(图 2.2.32) .....             | 286 |
| 28. 氢气的压缩系数图 (图 2.2.5) .....  | 262 | 56. 天然气的等熵指数图<br>(图 2.2.33) .....             | 286 |
| 29. 氩气的压缩系数图 (图 2.2.6) .....  | 263 | 57. 碳氢气体的比热容比 $c_p/c_v$ 图<br>(图 2.2.34) ..... | 289 |
| 30. 甲烷的压缩系数图 (图 2.2.7) .....  | 264 |   |     |
| 31. 一氧化碳的压缩系数图<br>(图 2.2.8) .....   | 265 |   |     |
| 32. 二氧化碳的压缩系数图<br>(图 2.2.9) .....   | 266 |   |     |

**第三章 液体的物理性质图表** ..... 290

1. 液体的性质表 (表 2.3.1) .....
2. 液体黏度的实验值和计算系数  
(表 2.3.2) .....
3. 求液体黏度的  $X$ 、 $Y$  值表 (表 2.3.3)  
和一般液体在常压下的黏度图  
(图 2.3.1) .....

|  |            |
|--|------------|
| 4. 液体的膨胀系数图 (图 2.3.2) .....                                  | 307        |
| 5. 石油的相对密度图 (图 2.3.3) .....                                  | 308        |
| 6. 油品的黏度图 (图 2.3.4) .....                                    | 309        |
| 7. 甘油的动力黏度图 (图 2.3.5) .....                                  | 310        |
| <b>第四章 水和水蒸气的物理性质表 .....</b>                                 | <b>311</b> |
| 1. 水的密度 $\rho$ (表 2.4.1) .....                               | 311        |
| 2. 水蒸气的密度 $\rho$ (表 2.4.2) .....                             | 319        |
| 3. 水和水蒸气的动力黏度 $\mu \times 10^6$<br>(表 2.4.3) .....           | 334        |
| 4. 饱和水蒸气的压力和密度表<br>(表 2.4.4) .....                           | 336        |
| <b>第五章 节流装置的流出系数和可膨胀性系数 .....</b>                            | <b>339</b> |
| 1. 各类节流装置的流出系数和可膨胀性系数 (表 2.5.1) .....                        | 339        |
| 2. 各类节流装置公式的使用条件 (表 2.5.2) .....                             | 340        |
| 3. 角接取压孔板的流出系数 $C$ 值 (表 2.5.3) .....                         | 341        |
| 4. $D-D/2$ 取压孔板的流出系数 $C$ 值 (表 2.5.4) .....                   | 342        |
| 5. 法兰取压孔板的流出系数 $C$ 值 ( $D=50\text{mm}$ ) (表 2.5.5) .....     | 344        |
| 6. 法兰取压孔板的流出系数 $C$ 值 ( $D=75\text{mm}$ ) (表 2.5.6) .....     | 345        |
| 7. 法兰取压孔板的流出系数 $C$ 值 ( $D=100\text{mm}$ ) (表 2.5.7) .....    | 346        |
| 8. 法兰取压孔板的流出系数 $C$ 值 ( $D=150\text{mm}$ ) (表 2.5.8) .....    | 347        |
| 9. 法兰取压孔板的流出系数 $C$ 值 ( $D=200\text{mm}$ ) (表 2.5.9) .....    | 348        |
| 10. 法兰取压孔板的流出系数 $C$ 值 ( $D=250\text{mm}$ ) (表 2.5.10) .....  | 349        |
| 11. 法兰取压孔板的流出系数 $C$ 值 ( $D=375\text{mm}$ ) (表 2.5.11) .....  | 350        |
| 12. 法兰取压孔板的流出系数 $C$ 值 ( $D=760\text{mm}$ ) (表 2.5.12) .....  | 351        |
| 13. 法兰取压孔板的流出系数 $C$ 值 ( $D=1000\text{mm}$ ) (表 2.5.13) ..... | 352        |
| 14. 孔板可膨胀性系数 $\epsilon$ 值 (表 2.5.14) .....                   | 353        |
| 15. ISA1932 喷嘴的流出系数 $C$ 值 (表 2.5.15) .....                   | 353        |
| 16. 长径喷嘴的流出系数 $C$ 值 .....                                    | 353        |
| (表 2.5.16) .....   | 354        |
| 17. 文丘里喷嘴的流出系数 $C$ 值 (表 2.5.17) .....                        | 356        |
| 18. 喷嘴和文丘里喷嘴的可膨胀性系数 $\epsilon$ 值 (表 2.5.18) .....            | 356        |
| <b>第三篇 节流装置制造安装图</b>   |            |
| <b>第一章 标准节流装置制造安装图 .....</b>                                 | <b>357</b> |
| 1. 角接取压节流装置制造安装图 (图 3.1) .....                               | 357        |
| 1.1 法兰 (图 3.1.1) .....                                       | 358        |
| 1.2 前环室、后环室 (图 3.1.2) .....                                  | 359        |
| 1.3 标准孔板 (图 3.1.3) .....                                     | 360        |
| 1.4 ISA1932 喷嘴 (图 3.1.3p) .....                              | 361        |
| 2. 中压角接取压标准节流装置制造安装图 (图 3.2) .....                           | 362        |
| 2.1 法兰 (图 3.2.1) .....                                       | 363        |
| 2.2 前环室、后环室 (图 3.2.2) .....                                  | 364        |
| 3. 高压角接取压 (环室) 节流装置制造安装图 (图 3.3) .....                       | 365        |
| 3.1 环室法兰 (图 3.3.1) .....                                     | 366        |
| 3.2 标准孔板 (图 3.3.2) .....                                     | 367        |
| 4. 高温高压角接取压 (环室) 节流装置制造安装图 (图 3.4) .....                     | 368        |
| 4.1 前环室、后环室 (图 3.4.1) .....                                  | 369        |
| 4.2 孔板 (图 3.4.2) .....                                       | 370        |
| 4.3 ISA1932 喷嘴 (图 3.4.2p) .....                              | 371        |
| 5. 角接取压 (单独钻孔) 节流装置制造安装图 (图 3.5) .....                       | 372        |
| 6. 角接取压 (钻孔环形) 节流装置制造安装图 (图 3.6) .....                       | 373        |
| 7. 角接取压 (单独钻孔) 节流装置制造安装图 (图 3.7) .....                       | 374        |
| 8. 法兰取压节流装置制造安装图 (图 3.8) .....                               | 376        |
| 9. 法兰取压 (金属环密封) 节流装置制造安装图 (图 3.9) .....                      | 378        |
| 9.1 取压法兰 (图 3.9.1) .....                                     | 379        |
| 9.2 密封环 (图 3.9.2) .....                                      | 380        |
| 9.3 标准孔板 (图 3.9.3) .....                                     | 381        |
| 10. $D-D/2$ 取压节流装置制造安装图 (图 3.10) .....                       | 382        |
| 11. 文丘里喷嘴制造安装图 (一) (图 3.11) .....                            | 383        |

|   |     |   |     |
|---|-----|---|-----|
| 12. 文丘里喷嘴制造安装图（二）<br>(图 3.12) .....             | 385 | (图 3.23) .....  | 408 |
| 12.1 取压法兰 (图 3.12.1) .....                      | 386 | 3. 测量腐蚀性液体流量的安装示意图<br>(隔离液密度小于被测液密度)<br>(图 3.24) .....                              | 409 |
| 12.2 喷嘴 (图 3.12.2) .....                        | 387 | 4. 测量腐蚀性液体流量的安装示意图<br>(液体双隔离, 中间隔离液的密度小<br>于被测液体的密度, 并且小于隔离液<br>的密度) (图 3.25) ..... | 410 |
| 12.3 后扩管 (图 3.12.3) .....                       | 388 | 5. 测量腐蚀性液体流量的安装示意图<br>(液体双隔离, 中间隔离液的密度大<br>于被测液体的密度, 并且大于隔离液<br>的密度) (图 3.26) ..... | 411 |
| 13. 经典文丘里管 (图 3.13) .....                       | 389 | 6. 测量腐蚀性液体流量的安装示意图<br>(利用喷吹管, 隔离液密度大于被测<br>液密度) (图 3.27) .....                      | 412 |
| <b>第二章 非标准节流装置制造安装参考图</b> .....                 | 390 | 7. 测量腐蚀性液体流量的安装示意图<br>(利用喷吹管, 隔离液密度小于被测<br>液密度) (图 3.28) .....                      | 412 |
| 1. 偏心孔板节流装置制造安装参考图<br>(图 3.14) .....            | 390 | 8. 测量无腐蚀性气体流量的安装示意图<br>(图 3.29) .....   | 413 |
| 2. 双重孔板 (环室取压) 节流装置制造<br>安装参考图 (图 3.15) .....   | 392 | 9. 测量腐蚀性气体流量的安装示意图<br>(液体隔离) (图 3.30) .....   | 413 |
| 3. 双重孔板 (钻孔取压) 节流装置制造<br>安装参考图 (图 3.16) .....   | 394 | 10. 测量腐蚀性气体流量的安装示意图<br>(利用喷吹管, 隔离气密度大于被测<br>气密度) (图 3.31) .....                     | 414 |
| 3.1 取压环 (图 3.16.1) .....                        | 395 | 11. 测量腐蚀性气体流量的安装示意图<br>(利用喷吹管, 隔离气密度小于被测<br>气密度) (图 3.32) .....                     | 415 |
| 3.2 中间垫环 (图 3.16.2) .....                       | 396 | 12. 蒸汽流量测量管路安装示意图<br>(图 3.33) .....   | 416 |
| 4. 1/4 圆孔板、锥形人口孔板节流装置制造<br>安装参考图 (图 3.17) ..... | 397 | <b>参考文献</b> .....   | 417 |
| 5. 端头孔板节流装置制造安装参考图<br>(图 3.18) .....            | 399 |   |     |
| 5.1 端头孔板 (图 3.18.1) .....                       | 400 |   |     |
| 5.2 取压环室 (图 3.18.2) .....                       | 401 |   |     |
| 6. 临界流文丘里喷嘴节流装置制造<br>安装参考图 (图 3.19) .....       | 402 |   |     |
| 7. 楔形孔板节流装置制造安装<br>参考图 (图 3.20) .....           | 404 |   |     |
| 8. 法兰取压圆缺孔板节流装置制造<br>安装图 (图 3.21) .....         | 405 |   |     |
| <b>第三章 差压信号管路的安装示意图</b> .....                   | 407 |   |     |
| 1. 测量无腐蚀性液体流量的安装示<br>意图 (图 3.22) .....          | 407 |   |     |
| 2. 测量腐蚀性液体流量的安装示意图<br>(隔离液密度大于被测液密度)            |     |   |     |

# 第一篇 原理和基础

## 第一章 基本原理

### 第一节 概述

差压式流量计是一类历史悠久、用量最大的流量计，其种类如表 1.1.1 所示。以节流装置作为检测件的差压式流量计则是其中最广泛使用的一类流量计，我们称之为节流式差压流量计。节流式差压流量计是依据流体通过节流装置，使部分压力能转变为动能产生差压信号的原理而工作的，本手册只涉及节流式差压流量计的内容。节流式差压流量计由三部分组成：节流装置、差压变送器和流量显示仪，亦可以由节流装置配以差压计组成，如图 1.1.1 所示。

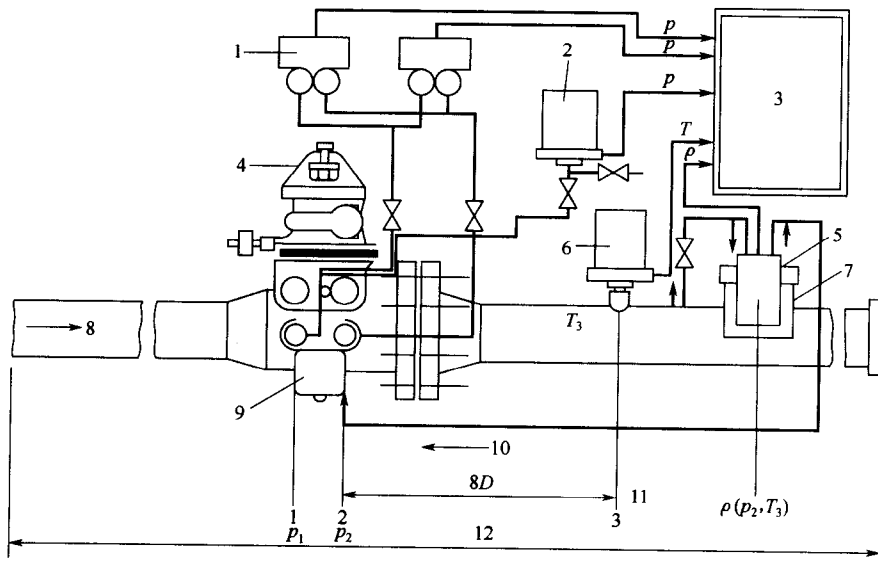


图 1.1.1 节流式差压流量计

1—差压变送器；2—压力变送器；3—流量计算机；4—孔板节流装置；5—密度计；6—温度变送器；7—壳体；  
8—流向；9—孔板；10—取样流体；11—温度传感器接头；12—测量管

(1) 节流装置 节流装置按其标准化程度，可分为标准型和非标准型两大类。所谓标准型是指只要按照标准文件（如 GB/T 2624 或 ISO 5167）设计、制造、安装和使用，无需实流校准即可确定输出信号（差压）与流量的关系，并估算其测量误差。非标准型是成熟程度较低，尚未列入标准文件的。

(2) 差压变送器 差压变送器经历长期的发展，20世纪80年代后技术上有新的突破，新产品称为智能式变送器（或称灵巧式变送器），产品为内置微处理器的固态变送器，其可靠性、测量准确度及功能多样化都是较完善的。

(3) 流量显示仪 流量显示仪大致经历四个发展阶段，即机械运算记录图表式、模拟运算机械计数式、简单逻辑运算数显式和程控微处理器运算及多功能数字显示式。目前内置微处理器的显示仪对流量测量工程问题考虑周到，功能齐全，又称为流量计算机。

表 1.1.1 差压式流量计分类表

| 分 类 原 则         | 分 类 类 型   |
|-----------------|---|
| 按产生差压的作用原理分类    | ①节流式；②水力阻力式；③离心式；④动压头式；⑤动压增益式；⑥射流式  |
| 按结构形式分类         | ①标准孔板；②标准喷嘴；③经典文丘里管；④文丘里喷嘴；⑤1/4圆孔板；⑥锥形入口孔板；⑦偏心孔板；⑧圆缺孔板；⑨楔形孔板；⑩道尔管；⑪罗洛斯管；⑫环形孔板；⑬端头孔板；⑭端头喷嘴；⑮小管径孔板（内藏孔板）；⑯弯管，环形管；⑰均速管；⑱皮托文丘里管；⑲线性孔板；⑳射流式差压件；㉑可换孔板节流装置 |
| 按用途分类（节流式差压流量计） | ㉒标准节流装置；㉓低雷诺数节流装置；㉔脏污流用节流装置；㉕低压损节流装置；㉖小管径节流装置；㉗宽范围度节流装置；㉘临界流节流装置  |

节流式差压流量计应用范围广泛，至今尚无任何一类流量计可与之比拟，所有单相流体，包括液、气、蒸汽等皆可测量，部分混相流，如气固、气液、液固等亦可应用，一般工业生产过程的管径、工作状态（压力、温度）皆可测量。为适应广泛的使用需要，检测件节流装置已开发数十种之多，但大多数检测件仍研究得并不充分，只有有限品种（孔板、喷嘴和文丘里管）曾进行过深入的试验研究，并形成成为标准节流装置。标准节流装置是全世界通用的，并得到国际计量组织的认可，对标准节流装置的试验研究是国际性的，其他流量计一般只限于个别厂家或科研群体进行，因此其研究的广度和深度不可同日而语。标准节流装置积累了极其丰富的资料，使得它无需实流校准而可预估流量与输出信号的关系及其测量误差，在全部流量计中是唯一的。

## 第二节 节流装置测量原理

### 一、流体通过节流装置的流动情况

流体通过节流装置（以孔板为例）的流动情况如图 1.1.2 所示。在 I-I 截面前，流体尚未受节流件的影响，管道内流速分布同节流件前较长直管段形成的规则速度分布（称为充分发展管流），管道轴心处的静压与管壁处的静压相等；I-I 截面后（约  $0.5D \sim 2D$ ），流体开始受节流件的影响，靠近管壁的流体向中心加速，平均流速  $v_1$  逐渐升高，直至 II-II 截面（孔板开孔后一定距离），流束收缩到最小，平均流速达最大值  $v_2$ ，这是因为流体的惯性使得流束经孔口后有射流现象；自 II-II 截面后，流束开始膨胀，直至 III-III 截面，又恢复到 I-I 截面前的情况，此时平均流速由  $v_2$  逐渐降低至  $v_3$ ，与平均流速相对应的静压  $p$  亦经历由低到高再恢复到低值。在流体进入节流件前、后的管壁附近形成涡流，流体微团不仅有横向脉动，而且还有逆向运动，是一种非常复杂的流动状态，孔板（或喷嘴）的压力损失很高，就是这些涡流能量耗散造成的。

### 二、流量方程式

#### 1. 连续性方程和伯努利方程

(1) 连续性方程 连续性方程是质量守恒定律应用于运动流体的一种数学表达式。它是运动学方程，既适用于理想流体，亦适用于实际流体。

封闭管道的连续性方程如下。

(a) 可压缩流体非定常流动

$$\rho_1 v_1 A_1 = \rho_2 v_2 A_2 = q_m(t) \quad (1.1.1)$$

(b) 可压缩流体定常流动

$$\rho_1 v_1 A_1 = \rho_2 v_2 A_2 = q_m = \text{常数} \quad (1.1.2)$$

(c) 不可压缩流体定常流动 ( $\rho_1 = \rho_2$ )

$$v_1 A_1 = v_2 A_2 = q_v = \text{常数} \quad (1.1.3)$$

式中  $A$ ——过流断面面积；

$v$ ——过流断面上的平均流速；

$\rho$ ——过流断面上的平均密度；

脚标 1, 2 代表不同断面；

$q_m(t)$ ——随时间变化的质量流量；

$q_m, q_v$ ——分别为不随时间变化的质量流量和体积流量。

(2) 伯努利方程 伯努利方程是能量守恒定律应用于运动流体的一种数学表达式。

(a) 不可压缩流体定常流的伯努利方程

$$Z_1 + \frac{p_1}{\rho_1} + K_1 \frac{v_1^2}{2} = Z_2 + \frac{p_2}{\rho_2} + K_2 \frac{v_2^2}{2} + \xi \frac{v_2^2}{2} \quad (1.1.4)$$

式中  $Z$ ,  $\frac{p}{\rho}$ ,  $K \frac{v^2}{2}$ ——分别表示单位质量流体在过流断面上的位能、压力能及动能的平均值；

$\xi \frac{v^2}{2}$ ——单位质量流体的平均能量损失；

脚标 1, 2 代表不同的过流断面。

(b) 可压缩流体定常流的伯努利方程

$$\frac{v_1^2}{2} + \frac{\kappa}{\kappa-1} \frac{p_1}{\rho_1} = \frac{v_2^2}{2} + \frac{\kappa}{\kappa-1} \frac{p_2}{\rho_2} \quad (1.1.5)$$

式中  $\kappa$ ——等熵指数；

其余符号同上。

## 2. 流量方程式

流量方程式是从伯努利方程和连续性方程推导出的。

(1) 不可压缩流体流量方程式 设由 I - I'、II - II' 截面建立流量方程式，由式 (1.1.2) 及式 (1.1.4) 得

$$v_2 = \frac{1}{\sqrt{K_2 + \xi - K_1 \left( \frac{A_2}{A_1} \right)^2}} \sqrt{\frac{2}{\rho_1} (p_1 - p_2)} \quad (1.1.6)$$

式中  $p_1, p_2$ ——分别为 I - I'、II - II' 截面管轴中心的静压。

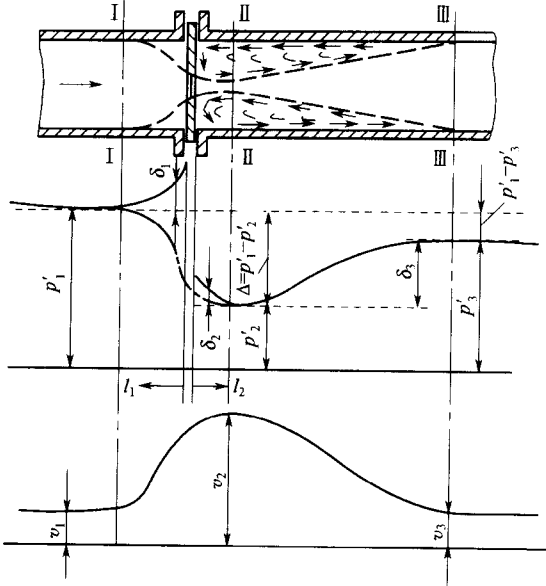


图 1.1.2 孔板附近的流速和压力分布

——管壁上的压力变化；---管道轴心线上的压力变化

$$\text{设 } \psi = \frac{p'_1 - p'_2}{p_1 - p_2}, \quad (\text{直径比}) \quad \beta^2 = \frac{A_0}{A_1}$$

式中  $p'_1, p'_2$  —— 分别为节流装置取压处的静压，差压  $\Delta p = p'_1 - p'_2$ ；

$A_0$  —— 孔板开孔面积；

$A_1$  —— 管道横截面面积。

设  $\mu = \frac{A_2}{A_0}$  为流束收缩系数； $A_2$  为流束收缩最小截面处面积。因

$$q_v = A_2 v_2$$

故

$$q_v = \frac{\mu \sqrt{\psi}}{\sqrt{K_2 + \xi - K_1(\mu \beta^2)^2}} A_0 \sqrt{\frac{2 \Delta p}{\rho_1}} \quad (1.1.7)$$

设  $\alpha = \frac{\mu \sqrt{\psi}}{\sqrt{K_2 + \xi - K_1(\mu \beta^2)^2}}$ ,  $C = \alpha/E$ ,  $E = \frac{1}{\sqrt{1 - \beta^4}}$  为渐近速度系数，则

$$q_v = \frac{C}{\sqrt{1 - \beta^4}} A_0 \sqrt{\frac{2}{\rho_1} \Delta p} \quad (1.1.8)$$

$$q_m = q_v \rho_1 = \frac{C}{\sqrt{1 - \beta^4}} A_0 \sqrt{2 \rho_1 \Delta p} \quad (1.1.9)$$

由上式推导过程可见，流量方程的使用条件为：

- ① 流体流动为定常流；
- ② 流体为不可压缩，即密度为常数；
- ③ 质量力只有重力；
- ④ 流体为连续流动，即流量为常数；
- ⑤ 水平管道。

(2) 可压缩流体流量方程式 可压缩流体是指流动过程流体密度不能视为常数，因此除伯努利方程外，尚需采用热力学过程的绝热过程方程式。

绝热过程方程

$$\frac{p}{\rho^\kappa} = \text{常数} \quad (1.1.10)$$

式中  $\kappa$  为等熵指数。

由式 (1.1.5)

$$v_2^2 - v_1^2 = \frac{2\kappa}{\kappa-1} \left( \frac{p_1}{\rho_1} - \frac{p_2}{\rho_2} \right) \quad (1.1.11)$$

由式 (1.1.2)

$$v_1 = \left( \frac{A_2}{A_1} \right) \left( \frac{\rho_2}{\rho_1} \right) v_2$$

代入式 (1.1.11) 得

$$v_2^2 - \left( \frac{A_2}{A_1} \right)^2 \left( \frac{\rho_2}{\rho_1} \right)^2 v_2^2 = \frac{2\kappa}{\kappa-1} \left( \frac{p_1}{\rho_1} - \frac{p_2}{\rho_2} \right)$$

再代入式 (1.1.10) 得

$$v_2^2 \left[ 1 - \left( \frac{A_2}{A_1} \right)^2 \left( \frac{\rho_2}{\rho_1} \right)^{2/\kappa} \right] = \frac{2\kappa}{\kappa-1} \left( \frac{p_1}{\rho_1} \right) \left[ 1 - \left( \frac{p_2}{\rho_1} \right)^{\frac{\kappa-1}{\kappa}} \right]$$

$$v_2 = \sqrt{\frac{\frac{\kappa}{\kappa-1} \left[ 1 - \left( \frac{p_2}{p_1} \right)^{\frac{\kappa-1}{\kappa}} \right]}{1 - \left( \frac{A_2}{A_1} \right)^2 \left( \frac{p_2}{p_1} \right)^{2/\kappa} \left( 1 - \frac{p_2}{p_1} \right)}} \sqrt{\frac{2}{\rho_1} (p_1 - p_2)} \quad (1.1.12)$$

$$\begin{aligned} q_m &= A_2 v_2 \rho_2 = A_2 \left( \frac{p_2}{p_1} \right)^{1/\kappa} \rho_1 \sqrt{\frac{\frac{\kappa}{\kappa-1} \left[ 1 - \left( \frac{p_2}{p_1} \right)^{\frac{\kappa-1}{\kappa}} \right]}{1 - \left( \frac{A_2}{A_1} \right)^2 \left( \frac{p_2}{p_1} \right)^{2/\kappa} \left( 1 - \frac{p_2}{p_1} \right)}} \sqrt{\frac{2}{\rho_1} (p_1 - p_2)} \\ &= \mu \sqrt{\frac{\left( \frac{p_2}{p_1} \right)^{2/\kappa} \left[ 1 - \left( \frac{p_2}{p_1} \right)^{\frac{\kappa-1}{\kappa}} \right] \frac{\kappa}{\kappa-1}}{1 - \left( \frac{A_2}{A_1} \right)^2 \left( \frac{p_2}{p_1} \right)^{2/\kappa} \left( 1 - \frac{p_2}{p_1} \right)}} A_0 \sqrt{2 \rho_1 (p_1 - p_2)} \\ &= \frac{\mu \sqrt{\psi}}{\sqrt{1 - \mu^2 m^2}} \left\{ \sqrt{\frac{1 - \mu^2 m^2}{1 - \mu^2 m^2 \left( \frac{p_2}{p_1} \right)^{2/\kappa}}} \sqrt{\frac{\frac{\kappa}{\kappa-1} \left( \frac{p_2}{p_1} \right)^{2/\kappa} \left[ 1 - \left( \frac{p_2}{p_1} \right)^{\frac{\kappa-1}{\kappa}} \right]}{(1 - p_2/p_1)}} \right\} \times \\ &\quad A_0 \sqrt{2 \rho_1 \Delta p} \end{aligned} \quad (1.1.13)$$

将式 (1.1.13) 与式 (1.1.9) 比较得到同样公式形式

$$\begin{aligned} q_m &= \frac{C}{\sqrt{1 - \beta^4}} \epsilon A_0 \sqrt{2 \rho_1 \Delta p} \\ \text{则 } \epsilon &= \left\{ \sqrt{\frac{1 - \mu^2 m^2}{1 - \mu^2 m^2 \left( \frac{p_2}{p_1} \right)^{2/\kappa}}} \sqrt{\frac{\frac{\kappa}{\kappa-1} \left( \frac{p_2}{p_1} \right)^{2/\kappa} \left[ 1 - \left( \frac{p_2}{p_1} \right)^{\frac{\kappa-1}{\kappa}} \right]}{(1 - p_2/p_1)}} \right\} \end{aligned} \quad (1.1.14)$$

式中  $\epsilon$  为可膨胀性系数。

对于喷嘴和文丘里管， $\epsilon$  可由上述理论计算式计算，但对于孔板需由经验公式求得。

### 三、标准节流装置的测量原理

标准节流装置是假设未经校准的节流装置与已经过充分实验校准的节流装置几何相似和动力学相似，亦即符合标准文件（GB/T 2624 或 ISO 5167）的全部要求，则在标准所规定的测量误差内，质量流量与差压的关系可由上述流量方程确定。达到几何相似的条件主要有：节流装置结构形式、取压装置、节流件上下游测量管，以及直管段长度等的制造及安装符合标准的各项规定。动力学相似的条件为雷诺数相等。

标准节流装置的工作条件应为参考工作条件（参考工作条件见第五章第二节）。